

РАЗРАБОТКАТА НА МАТЕРИАЛИТЕ Е НА ИНЖЕНЕР

Бруяка О.О., Рудяк М.О.
АДИ при ДонГТУ

ВОЗМОЖНОСТИ ПОЛУЧЕНИЯ НАНОСТРУКТУР ПРИ ДЕЙСТВИИ ЭЛЕКТРОНОВ

Рассмотрено действие потоков электронов разных энергий и плотностей токов на материал и реальность прогноза получения наноструктур. Показано, что существуют физические параметры, при которых реализуются условия для получения наноструктур: требуемые температуры, необходимые скорости нарастания температур и достаточные величины температурных напряжений (давлений).

Рассматривалось действие пяти электронов А с $E_{eA}=5 \cdot 10^5$ эВ, четырех электронов В с энергией $E_{eB}=5 \cdot 10^4$ эВ и четырех электронов С с энергией $E_{eC}=3 \cdot 10^3$ эВ при их действии на деталь из стали. Изучалось распределение температур на глубине детали в зоне действия этих частиц за время столкновений.

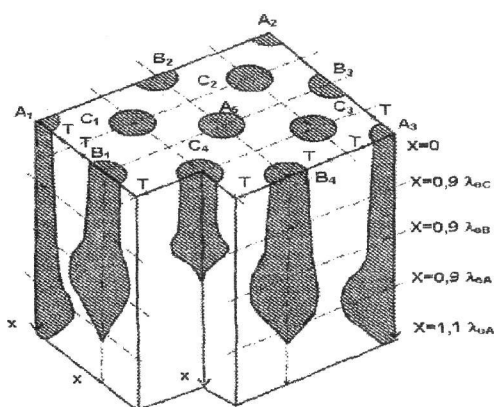


Рис. 1. Распределение температур по глубине при действии 5 электронов А ($E_{eA} = 5 \cdot 10^5$ эВ), 4 электронов В ($E_{eB} = 10^4$ эВ), 4 электронов С ($E_{eC} = 3 \cdot 10^3$ эВ), $T_{maxA} = 4,2 \cdot 10^4$ К, $T_{maxB} = 1,3 \cdot 10^4$ К, $T_{maxC} = 1,83$ К

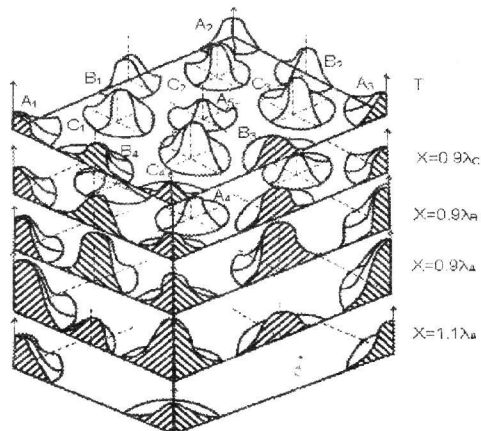


Рис. 2. Распределение температур на поверхностях $x=0$ ($T_{maxC} = 990$ К), $x=0,9\lambda_c$ ($T_{maxC} = 1,8 \cdot 10^3$ К), $x=0,9\lambda_B$ ($T_{maxB} = 1,3 \cdot 10^4$ К), $x=0,9\lambda_A$ ($T_{maxA} = 4,2 \cdot 10^4$ К), $x=1,1\lambda_A$ ($T_{max} = 720$ К)

На рис. 1 показано распределение температур по глубине от действия частиц А, В и С. Видно, что глубина проникновения наиболее высоконергетичных электронов составляет порядка 10^{-6} м, что примерно равно $1,3\lambda_e$. Максимум температуры реализуется на глубине $0,9\lambda_e$ и составляет $4,2 \cdot 10^4$ К, для частицы А максимум температуры также вблизи $0,9\lambda_e$ и равен $1,3 \cdot 10^4$ К, а для частицы С максимум составляет $1,8 \cdot 10^3$ К и находится и вблизи $0,9\lambda_e$. Поля температур по глубине удачно дополняют друг друга и способствуют заполнению объема полем температур.

Результаты экспериментального исследования подтверждают возможность полученияnanoструктур. Так исследовалось одновременное действие электропроводов различных энергий на сталь 50:

1 – первый поток с энергией 3,2 кэВ ($j = 9,1 \cdot 10^3$ А/м²), второй – с энергией 6,9 кэВ ($j = 10^3$ А/м²), третий – с энергией 9,9 кэВ ($j = 80$ А/м²);

2 – поток с энергией 6,9 кэВ ($j = 10^3$ А/м²).

Потоки электронов подавались с чередованием f_1 действия (временем действия $t_a = 180$ мкс.) первый, второй и третий, а далее последовательность повторяется. Плотности токов выбирались таковыми, чтобы были равны первой критической или вблизи нее, что позволяет обеспечивать максимальные по величине значения температурных напряжений ($\sigma_1 = 3,9 \cdot 10^7$ Н/м², $\sigma_2 = 5,8 \cdot 10^7$ Н/м², $\sigma_3 = 8 \cdot 10^7$ Н/м²) и достаточных для образования nanoструктур температур ($T_{max1} = 970$ К; $T_{max2} = 1,2 \cdot 10^3$ К; $T_{max3} = 3,9 \cdot 10^3$ К). Результаты такого исследования представлены на рис. 3. Видно, что для первого случая (кривые 1, рис. 3) реализуется аномально вы-

сокое значение микротвердости до 50 ГПа, тогда как во втором случае микротвердость составляет всего 5,7 ГПа и практически соответствует твердости закаленной стали 50. Наличие трех потоков позволяет обеспечить практически полное заполнение объема полями температур и температурных напряжений.

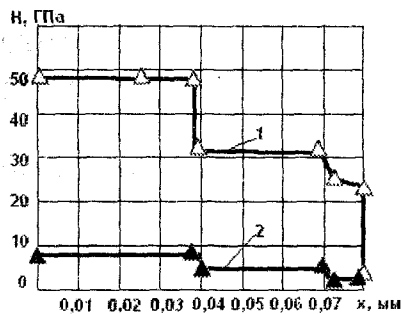


Рис. 3. Распределение микротвердости по глубине при действии поочередно потоков ионов с энергией 3,2 кэВ ($j = 9,1 \cdot 10^3 \text{ A/m}^2$), с энергией 6,9 кэВ ($j = 10^3 \text{ A/m}^2$) и с энергией 9,9 кэВ ($j = 80 \text{ A/m}^2$) – 1, ионов с энергией 6,9 кэВ ($j = 10^3 \text{ A/m}^2$) – 2 и временем действия 180 мкс и частотой срабатывания 5 Гц.

Наличие же высокоэнергетических электронов 9,9 кэВ позволяет достичь очень высоких скоростей нарастания температур, когда скорость кристаллизации высока, что способствует образованию наноструктур малого размера до 10 нм.

Экспериментально и теоретически показана возможность термоупругого разрушения материала в результате многократного действия потоков электронов.

Литература:

1. Костюк Г.И., Суккарисх Мустафа Еzzat, Воляк Е.А. Создание наноструктур в объеме детали при электронно-лучевой обработке // Сборник научных трудов Вопросы проектирования и производства конструкций летательных аппаратов, выпуск 3 (63), 2010, с. 8 – 23
2. Костюк Г.И. Монография в двух книгах. Физико-технические основы нанесения покрытий, ионной имплантации и ионного легирования, лазерной обработки и упрочнения, комбинированных технологий / Г.И. Костюк. – Х., изд-во АИНУ, 2002. – 1030 с.
3. Kostyuk G.I. Effective coating and modification hardened layers at the cutting tools. Kiev. 2012, 728 p.